

## تولید هارمونیک مرتبه بالا با استفاده از پالس‌های ۸۰۰ و ۱۶۰۰ نانومتر در حضور نانوساختار فلزی پاپیونی شکل

عسکری، سمانه؛ محبی، مسعود  
دانشکده علوم پایه دانشگاه ولی‌عصر (عج) رفسنجان

چکیده - ما نتایج حاصل از برهم کنش گاز هیدروژن با پلاسمون‌های سطحی موضعی برای تولید هارمونیک مرتبه بالا را بصورت سیستماتیکی نشان می‌دهیم. این میدان‌های نزدیک پلاسمونیکی هنگامی که یک نانوساختار فلزی پاپیونی شکل در معرض پالس لیزری پر شدت دورنگ قرار می‌گیرند تولید می‌شوند. با تغییر فاز نسبی و شدت نسبی، فرکانس قطع در طیف هارمونیک مرتبه بالا کنترل می‌شود. نتایج نشان می‌دهند که بیشینه پالس فرکانس قطع با استفاده از یک پالس کنترلی نیم هارمونیک با قدرت نسبی یکسان و تغییر فاز  $\frac{\pi}{2}$  نسبت به پالس اصلی مشاهده می‌شود.

کلید واژه- تولید هارمونیک مرتبه بالا، میدان لیزری دورنگی، نانوساختار پاپیونی شکل

## High-order harmonic generation by 800 and 1600nm pulse in a bow-tie-shaped metal nanostructure

Askari, Samaneh; Mohebbi, Masoud

Department of Physics, Vali-e-Asr University, Rafsanjan, Iran

Abstract- We demonstrate systematic investigations of high-order-harmonic generation resulting from the interaction of hydrogen gases with localized surface plasmons. These plasmonic near-fields are produced when a bow-tie-shaped metal nanostructure is subject to an intense two-color laser pulse. By changing the relative phase and relative intensities, cut-off frequency will be controlled in high-order harmonic spectrum. The results show that the maximum cutoff frequency pulse can be observed by using a half-harmonic control pulse with a same relative strength and  $\frac{\pi}{2}$  phase shift relative to the fundamental pulse.

Keywords: High Harmonic generation (HHG), two color laser field, bow-tie-shaped metal nanostructure

$$V_c(z) = -\frac{0.775}{\sqrt{1+z^2}} \quad (2)$$

و میدان الکتریکی تقویت یافته در حضور نانوساختار فلزی در راستای محور  $z$  است

$$E(z,t) = E_L(t)(1+\beta z)z \quad (3)$$

که در آن  $\beta$  پارامتر ناهمگنی میدان می‌باشد [۹]. بازه تغییرات  $z$  بین مقادیر  $+10\text{nm} < z < 10\text{nm}$ - انتخاب شده است تا شرایط تجربی مربوط به بیشینه مسافت طی شده توسط الکترون ایجاد شود [۲].  $E_L(t)$  میدان لیزری دو رنگ بصورت:

$$E_L(t) = E_0 \{ \exp[-4 \ln(2)t^2/\tau_0^2] \cos(\omega_0 t) + \sqrt{R} \exp[-4 \ln(2)(t+\Delta t)^2/\tau_1^2] \cos[\omega_1(t+\Delta t)] \} \quad (4)$$

در نظر گرفته می‌شود که در آن  $\omega$  فرکانس میدان  $(0.1\text{ rad/s})$ ،  $\Delta t$  زمان تاخیر،  $E_0$  دامنه میدان پالس اول،  $\tau_1$  و  $\tau_2$  به ترتیب مدت تپش پالس اول و دوم می‌باشد [۷]. توجه داشته باشید که  $R$  را بصورت

$$\sqrt{R} = \frac{E_1}{E_0} = \sqrt{\frac{I_1}{I_0}} \quad (5)$$

تعریف می‌کنیم که نسبت شدت میدان دوم  $I_1$  به اول  $I_0$  است ( $E_1$  دامنه میدان پالس دوم می‌باشد) [۸]. با حل عددی معادله شرودینگر با استفاده از روش تفاضل محدود تابع موج وابسته به زمان  $(z,t)\psi$  بدست می‌آید که با استفاده از آن می‌توان چشمداشتی شتاب دوقطبه:

$$\langle \ddot{z} \rangle = \left\langle \psi(z,t) \left| -\frac{\partial}{\partial z} (V_c(z) - E(z,t)) \right| \psi(z,t) \right\rangle \quad (6)$$

را محاسبه کرد. شدت هارمونیک متناسب با اندازه چشمداشتی شتاب دوقطبه است.

### ۳- بررسی

برای شروع، ابتدا تاثیر نانو ساختار (ناهمگنی میدان) بر طیف بدست آمده از یک پالس با طول موج  $\lambda_0 = 800\text{nm}$  و شدت  $I = 1 \times 10^{14}\text{W/cm}^2$  و مدت تپش  $\tau_0 = 6\text{fs}$  را در

شکل ۱ بررسی می‌کنیم. نیم رخ میدان بصورت

$$E = E_0 \exp[-4 \ln(2)t^2/\tau_0^2] \cos(\omega_0 t) \quad (7)$$

می‌باشد که در داخل شکل ۱ نشان داده شده است. سپس تاثیر نانو ساختار بر طیف ناشی از یک پالس با طول موج  $\lambda_1 = 1600\text{nm}$  و شدت  $I = 1 \times 10^{14}\text{W/cm}^2$  و مدت تپش  $\tau_1 = 12\text{fs}$  را در شکل ۲ بررسی می‌شود. نیم رخ این میدان بصورت

$$E = E_0 \sqrt{R} \exp[-4 \ln(2)(t+\Delta t)^2/\tau_1^2] \cos[\omega_1(t+\Delta t)] \quad (8)$$

## ۱- مقدمه

منابع نوری پر توان موجب بسیاری از پدیده‌های میدان قوی از جمله تولید هارمونیک مرتبه بالا می‌شود. تولید هارمونیک مرتبه بالا یک پدیده غیرخطی شدیدی است که توجه زیادی را در سال‌های اخیر به علت کاربردش در تولید اشعه ایکس نرم و تولید پالس‌های آتوئانیه به خود جلب کرده است [۱-۲]. فرآیند تولید هارمونیک مرتبه بالا می‌تواند در مدل نیمه کلاسیکی در سه مرحله یونیزاسیون، شتاب گیری و بازنگری در میدان لیزری خارجی شرح داده شود [۳]. از لحاظ ساختار طیفی، شدت هارمونیک‌ها ابتدا یک ناحیه افت را نشان می‌دهند با افزایش مرتبه‌ی هارمونیک، هارمونیک‌هایی که دارای شدت نسبتاً یکسانی هستند یک ناحیه تخت را ایجاد می‌کنند و در نهایت یک افت شدت ناگهانی در محل فرکانس قطع خواهیم داشت. آستانه شدت پالس فرودی برای تولید هارمونیک مرتبه بالا از مرتبه  $W/cm^2$   $10^{13}$  می‌باشد. می‌توان از نانو ساختار فلزی برای کاهش آستانه شدت پالس فرودی استفاده کرد. به عنوان مثال نانوساختار پاپیونی که از دو مثلث مقابل به هم از جنس طلا ساخته شده است با استفاده از نوسانات پلاسمون‌های سطحی میدان لیزری را در گاف فضایی تشکیل شده بین دو نوک مثلث (که به فاصله ۲۰ نانومتر از هم دیگر قرار گرفته‌اند)، حدود ۲۰ دسی بل یا بیشتر تقویت می‌کند. بنابراین نیازی به کاواک‌های تقویت کننده نور لیزر جهت افزایش شدت پالس فرودی نیست [۴]. تلاش‌هایی در جهت افزایش فرکانس قطع با استفاده از این نانوساختار انجام شده است [۵-۶]. نیز در این مقاله با استفاده از پالس‌های لیزری ۸۰۰ و ۱۶۰۰ نانومتری، فرکانس قطع را افزایش می‌دهیم.

## ۲- تئوری

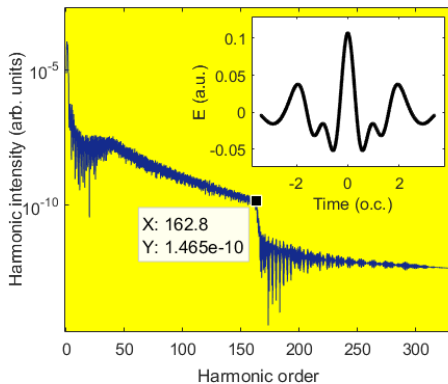
با استفاده از حل یک بعدی معادله شرودینگر وابسته به زمان (در واحد اتمی):

$$i \frac{\partial}{\partial t} |\psi\rangle = \left[ -\frac{1}{2} \frac{\partial^2}{\partial z^2} + V_c(z) - zE(z,t) \right] |\psi(z,t)\rangle \quad (1)$$

برهمکنش بین اتم هیدروژن و میدان لیزری تقویت شده در اثر حضور نانوساختار بررسی می‌شود. در این معادله  $z$  بردار مکان الکترون و  $V_c$  پتانسیل کولنی نرم برای اتم هیدروژن:

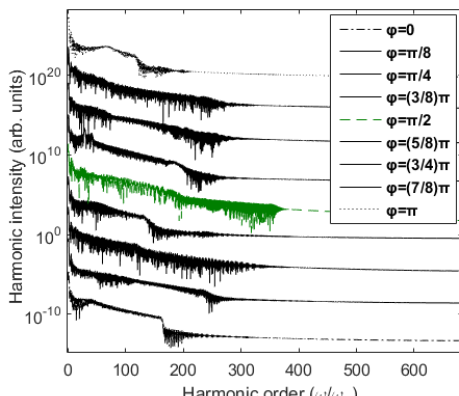
برای این کار همانطور که در طیف شکل ۴ نشان داده شده است مقدار فاز مطابق با رابطه‌ی

می‌باشد.



(شکل ۳) طیف هارمونیک برای میدان ترکیبی (درون شکل) با  $I = 1 \times 10^{14} W/cm^2$ ,  $R = 1$ ,  $\lambda_1 = 1600 nm$ ,  $\lambda_0 = 800 nm$

$$\tau_1 = 12 fs, \tau_0 = 6 fs$$

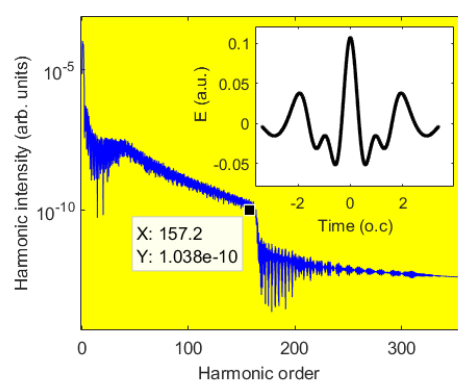


(شکل ۴) طیف هارمونیک برای فاز‌های مختلف با توجه به ثابت بودن  $\beta = 0.005$  و  $R = 1$ ,  $\lambda_1 = 1600 nm$ ,  $\lambda_0 = 800 nm$

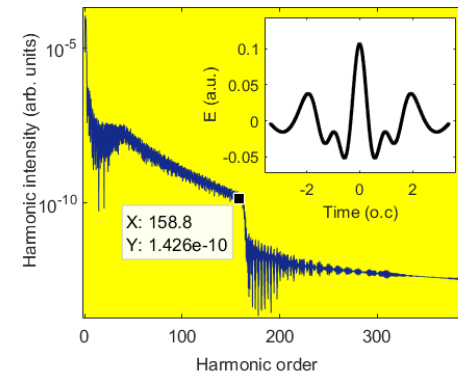
$$phase = 2\pi \frac{\Delta t}{T_1} = \omega_1 \Delta t \quad (9)$$

با گام  $\frac{\pi}{8}$  تغییر می‌کند. همانطور که مشخص است بدون ملاحظه‌ی شدت، فرکانس قطع در فاز  $\phi = \frac{\pi}{2}$  بیشترین مقدار (۳۶۴/۲) را دارد که در شکل با رنگ سبز بصورت خط چین(–) مشخص شده است.

مطابق با شکل ۴، طیف مربوط به حالت  $\phi = \frac{\pi}{2}$  با فرکانس قطع ۳۶۰ نسبت به حالت  $\phi = 0$  با فرکانس قطع (موثر دوم)، شدت بیشتری دارد. مطابق شکل ۵ این فرکانسها برای حالت فاز  $\phi = 0$  به ترتیب مربوط به رویداد تولد الکترون در لحظه صفر (ابتدا پیکان خط تیره سیاه رنگ) و بازترکیب در لحظه  $1/3$  چرخه‌ی اپتیکی (انتهای پیکان خط تیره سیاه رنگ) و تولد الکترون در لحظه



(شکل ۱) طیف هارمونیک برای میدان (درون شکل) با  $I = 1 \times 10^{14} W/cm^2$ ,  $\lambda_0 = 800 nm$  و مدت تپش  $\tau_0 = 6 fs$



(شکل ۲) طیف هارمونیک برای میدان (درون شکل) با  $I = 1 \times 10^{14} W/cm^2$ ,  $\lambda_1 = 1600 nm$  و مدت تپش  $\tau_1 = 12 fs$

با مقایسه این دو طیف مشاهده می‌شود با افزایش طول موج از ۸۰۰ نانومتر به ۱۶۰۰ نانومتر مقدار فرکانس قطع افزایش می‌یابد. بر مبنای تحلیل نیمه کلاسیکی کرکوم، حضور ناهمگنی باعث می‌شود که الکترون در حین برگشت به یون مادر، میدان قوی تری را درک کند. این منجر به افزایش انرژی جنبشی برخوردی و در نتیجه افزایش فوتون گسیلی می‌شود [۱۱-۱۰-۳]. در نهایت طیف ناشی از میدان فرویدی دو رنگی که از ترکیب پالس‌های اول و دوم تشکیل شده است (رابطه (۴)) برای ضریب ناهمگنی  $\beta = 0.005$  در شکل ۳ بررسی می‌شود. در اینجا  $I = I_0 + I_1 = 10^{14} W/cm^2$ ,  $\Delta t = 0$  و  $R = 1$  است.

در قیاس با دو حالت قبل می‌بینیم که مقدار فرکانس قطع در اینجا افزایش یافته است. در ادامه تاثیر پارامتر  $\Delta t$  بر مکان فرکانس قطع در طیف مورد بررسی قرار می‌گیرد.

#### ۴- نتیجه‌گیری

در نتیجه ما بصورت روش مند تولید پالس هارمونیک با فرکانس قطع بیشینه را در یک میدان لیزرسی دو رنگ با پارامترهای لیزرسی متفاوت در حضور نانوساختار را بررسی کردیم. شبیه سازی نشان می‌دهد که با ترکیب دو پالس با طول موج های مرکزی ۸۰۰ و ۱۶۰۰ نانومتر فرکانس قطع افزایش می‌یابد. همچنین به ازای فازنسبی بهینه  $\phi = \frac{\pi}{2}$  و

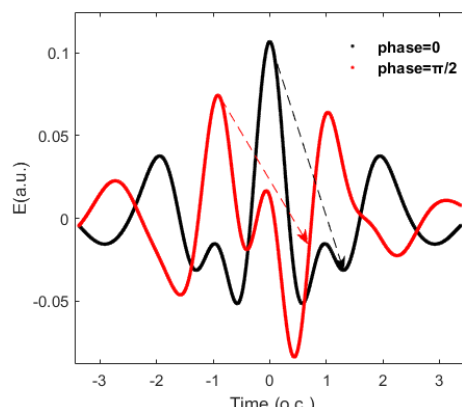
$R=1$  فرکانس قطع بیشترین افزایش را نسبت به حالت  $\phi=0$  و  $R=1$  نشان می‌دهد. در ادامه تأثیر تغییرات نسب شدت های پالس های فرودی  $R$  بر روی ساختار طیف برای فاز بهینه ثابت بررسی شد. به ازای همان  $R=1$  بیشترین مرتبه فرکانس قطع مشاهده می‌گردد.

#### مراجع

- [1] F. Krausz, M. Ivanov, "Attosecond physics", Rev. Mod. Phys, vol. 81, pp. 163, 2009.
- [2] L. Pengfei, L. Peixiang, C. Wei, W. Xinlin, Y. Guang, "Phase-locked high-order-harmonic and sub-100-as pulse generation from stretched molecules", Phys. Rev. vol. A, No. 74, pp. 063411, 2006.
- [3] Corkum, P. B, "Plasma perspective on strong field multiphoton ionization", Phys. Rev. Lett. No. 71, pp. 1994–1997, 1993.
- [4] Kim S1, Jin J, Kim YJ, Park IY, Kim Y, Kim SW, "High-harmonic generation by resonant plasmon field enhancement", Nature, No. 453, pp. 757, 2008.
- [5] A.Husakou, S.-J. Im, J. Herrmann, "Theory of plasmon-enhanced high-order harmonic generation in the vicinity of metal nanostructures in noble gases", Phys. Rev, vol. A 83, No. 043839, 2011.
- [6] B. Feti, K. Kalajdži, D. B. Milosevi, "High-order harmonic generation by a spatially inhomogeneous field", Ann. Phys. No. 525, pp. 107, 2013.
- [7] I-Lin Liu, Peng-Cheng Li, Shih-I Chu, "Coherent control of the electron quantum paths for the generation of single ultrashort attosecond laser pulse", physical review, vol. A 84, No. 033414, 2011.
- [8] T. Shao, G. Zhao, B. Wen, H. Yang, "Theoretical exploration of laser-parameter effects on the generation of an isolated attosecond pulse from two-color high-order harmonic generation", Physical Review, vol. A 82, No. 063838, 2010.
- [9] B. Feti, K. Kalajdži, Dejan B. Milosevi, "Highorder harmonic generation by a spatially inhomogeneous field", Ann.Phys, vol. 525, No. 1–2, pp. 107–117, 2013.
- [10] M. Mohebbi, S. Nazarpoor Malaei, "Electron path control of high-order harmonic generation by a spatially inhomogeneous field", Journal of Modern Optics, Vol. 63, No. 7, pp. 643–652, 2015.

[۱۱] عسکری سمانه، محبی مسعود، "تولید هارمونیک مرتبه بالا در میدان افزایشی با استفاده از پالس های ۸۰۰ و ۱۶۰۰ نانومتر در حضور نانوساختار فلزی پاپیونی شکل"، کنفرانس فیزیک ایران ۱۳۹۵، دانشگاه شیراز، شماره ۸۸۱

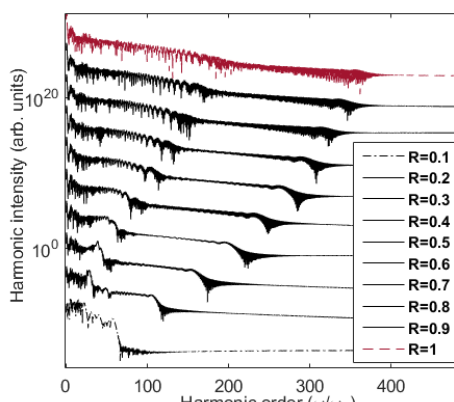
۰-۰-۹ چرخه‌ی اپتیکی (ابتدای پیکان خط تیره قرمز رنگ) و بازترکیب در لحظه ۰/۶۹ چرخه‌ی اپتیکی (انتهای پیکان خط تیره قرمز رنگ) می‌باشد. بنابراین علت افزایش قطع تحت حالت  $\phi = \frac{\pi}{2}$  نسبت به حالت  $\phi = 0$  در قوی تر بودن میدان در موقع برگشت الکترون به یون مادر می‌باشد (یعنی میدان الکتریکی در لحظاتی که با نوک پیکان ها مشخص شده است).



(شکل ۵) میدان برای حالت های  $\phi = 0, \frac{\pi}{2}$  و طول موج های

$$R = 1 \text{ با } \lambda_1 = 1600\text{nm} \text{ و } \lambda_0 = 800\text{nm}$$

اکنون به ازای فاز بهینه مشخص شده ( $\phi = \frac{\pi}{2}$ )، طیف هارمونیک ها را برای مقادیر مختلف  $R$  (از ۰/۱ تا ۱ با گام ۰/۱) حساب کردیم که در شکل ۶ قابل مشاهده است. مطابق شکل مشاهده می شود که با افزایش  $R$  از مقدار ۰/۱ تا ۱ فرکانس قطع افزایش می‌یابد (بر مبنای بحث نیمه کلاسیکی) [۳-۱۰].



(شکل ۶) طیف هارمونیک بر حسب  $R$  به ازای  $\phi = \frac{\pi}{2}$